

Teorema della divergenza e teorema di Stokes in  $\mathbb{R}^3$ 

Sia  $E: B \subset \mathbb{R}^3 \rightarrow \mathbb{R}^3$  un campo vettoriale di classe  $C^1$ , ovvero  $B$  è un aperto. Sia poi  $A$  un aperto, con  $\bar{A} \subset B$ , tale che  $\partial A$  (la frontiera di  $A$ ) sia sostanzio di una superficie regolare o regolare a tratti.

Ricordiamo che

$$\operatorname{div} E = \frac{\partial F_1}{\partial x} + \frac{\partial F_2}{\partial y} + \frac{\partial F_3}{\partial z}.$$

Teorema (della divergenza) Nelle ipotesi sopra dette,

$$\int_A \operatorname{div} E \, dx \, dy \, dz = \int_{\partial A} \langle E, \underline{n} \rangle_3 \, d\sigma$$

ovvero  $\underline{n}$  è il vettore normale esterno ad  $A$ .

dim. omessa.  $\square$

Superficie con bordo.

Tutti abbiamo in testa la differenza fra una sfera (superficie chiusa, senza bordo) e una semisfera (superficie con bordo).

In genere i punti di una superficie regolare  $\Sigma$  si possono suddividere in due categorie (disgiunte):  $\Sigma = i\Sigma \cup b\Sigma$ .

- $i\Sigma$  ("interno" di  $\Sigma$ ) è l'insieme dei punti  $x \in \Sigma$  per i quali

vi sono un intorno  $U$  di  $\underline{x}$  in  $\mathbb{R}^3$  ed un'applicazione

285

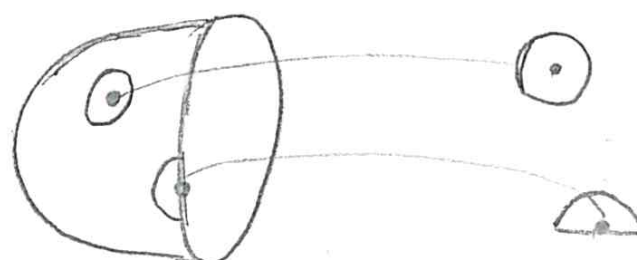
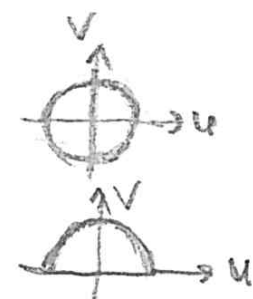
$\Psi: B(0,1) \subseteq \mathbb{R}^2 \rightarrow U \cap \Sigma$ , bigettiva e di classe  $C^1$ , tale che  $\Psi(0) = \underline{x}$ ;

- $b\Sigma$  ("bordo" di  $\Sigma$ ) è l'insieme dei punti  $\underline{x} \in \Sigma$  per i quali vi sono un intorno  $U$  di  $\underline{x}$  in  $\mathbb{R}^3$  ed un'applicazione  $\varphi: \overline{B^+(0,1)} \subseteq \mathbb{R}^2 \rightarrow U \cap \Sigma$ , bigettiva e di classe  $C^1$ , tale che  $\varphi(0) = \underline{x}$  e  $\varphi(u,v) \in \Sigma \cap U$  per  $(u,v) \in B^+(0,1)$ .

Ricordiamo che

$$B(0,1) = \{(u,v) \in \mathbb{R}^2 : u^2 + v^2 < 1\},$$

$$B^+(0,1) = \{(u,v) \in \mathbb{R}^2 : u^2 + v^2 < 1, v > 0\}.$$



Si ha  $\Sigma \cap b\Sigma = \emptyset$ , e se  $\Sigma$  è una superficie chiusa, come una sfera o un toro, allora  $b\Sigma = \emptyset$ . Si noti che le parole "bordo" non va intesa come "frontiera" in senso topologico: ogni superficie di  $\mathbb{R}^3$  è un insieme privo di parte interna, e quindi Giacché ha la propria frontiera.

Orientazione del bordo di una superficie

Sia  $\Sigma$  una superficie con bordo, regolare, orientabile.

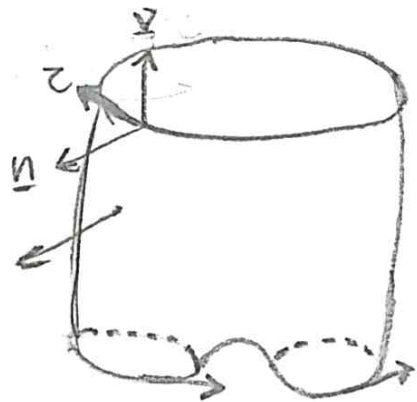
Vogliamo fissare su  $b\Sigma$ , che è sostegno di una curva regolare, un'orientazione coerente con quella che preventivamente abbiamo fissato su  $\Sigma$ .

Sia  $\underline{n}$  il vettore normale a  $\Sigma$  secondo tale orientazione.

Sia poi  $\underline{\tau}$  il vettore tangente a  $b\Sigma$  secondo una sua orientazione.

Definizione Diciamo che l'orientazione indotta su  $b\Sigma$  da  $\underline{\tau}$  è coerente con quella indotta su  $\Sigma$  da  $\underline{n}$ , se si ha:

posto  $\underline{v} = \underline{\tau} \times \underline{n}$ , il vettore  $\underline{v}$  (che è tangente a  $\Sigma$  e normale a  $b\Sigma$ ) ha verso uscente da  $\Sigma$ : in altre parole

$$\det(\underline{v} | \underline{\tau} | \underline{n}) = 1.$$


Equivisicamente:  $\underline{\tau}$  e  $\underline{n}$  hanno orientazioni coerenti se, percorrendo  $b\Sigma$  (con  $b$  fatta nel verso di  $\underline{n}$ ) ci lasciamo  $\Sigma$  dall'altra sinistra.

Definiamo adesso il rotore di un campo vettoriale  $\underline{F}$  di classe  $C^1$ :

$$\text{rot } \underline{F} = \left( \frac{\partial F_3}{\partial y} - \frac{\partial F_2}{\partial z}, \frac{\partial F_1}{\partial z} - \frac{\partial F_3}{\partial x}, \frac{\partial F_2}{\partial x} - \frac{\partial F_1}{\partial y} \right).$$

Una buone regola mnemonica è

$$\text{rot } \underline{F} = \det \begin{pmatrix} \underline{i} & \underline{j} & \underline{k} \\ D_x & D_y & D_z \\ F_1 & F_2 & F_3 \end{pmatrix}, \text{ ove } \underline{i} = \begin{pmatrix} 1 \\ 0 \\ 0 \end{pmatrix}, \underline{j} = \begin{pmatrix} 0 \\ 1 \\ 0 \end{pmatrix}, \underline{k} = \begin{pmatrix} 0 \\ 0 \\ 1 \end{pmatrix}.$$

Osservazione Se  $\underline{F}(x, y, z)$  è di classe  $C^2$ , si ha

$$\text{div rot } \underline{F} = 0;$$

se  $f(x, y, z)$  è una funzione scalare di classe  $C^2$ , si ha

$$\text{rot } \nabla f = 0,$$

mentre  $\text{div } \nabla f = f_{xx} + f_{yy} + f_{zz} = \Delta f$ . Inoltre, se  $\underline{F}(x, y, z)$  è un campo conservativo, allora  $\text{rot } \underline{F} = 0$ .

Teorema (di Stokes, o del rotore) Sia  $\underline{F}$  un campo vettoriale di classe  $C^1$ , definito su un aperto  $A \subseteq \mathbb{R}^3$ . Sia  $\Sigma$  una superficie con bordo, orientabile, regolare o regolare a tratti, contenuta in  $A$ . Se le orientazioni di  $\Sigma$  e di  $b\Sigma$  sono coerenti, allora

$$\int\limits_{\Sigma} \langle \text{rot } \underline{F}, \underline{n} \rangle_3 d\sigma = \int\limits_{b\Sigma} \langle \underline{F}, \underline{\tau} \rangle_3 ds.$$

Dunque, il flusso del rotore attraverso  $\Sigma$  coincide con il lavoro compiuto da  $\underline{F}$  lungo  $b\Sigma$  (nella giusta direzione).   
 dim. omessa.  $\square$

Esempio (1) Calcoliamo

$$\int_{+C} [(y+z) dx + (z+x) dy + (x+y) dz],$$

ove  $C = \{(x, y, z) : x^2 + y^2 + z^2 = 1, x + y + z = 0\}$ , con

versore  $\underline{\tau}$  su  $C$  orientato in modo da andare da  $\begin{pmatrix} 1 \\ -1 \\ 0 \end{pmatrix}$  a  $\begin{pmatrix} 0 \\ -1 \\ 1 \end{pmatrix}$  e poi verso  $\begin{pmatrix} -1 \\ 0 \\ 1 \end{pmatrix}$ . Si noti che  $C$  è un cerchio massimo della sfera unitaria.

Poiché  $C$  è bordo del disco  $D = \{$

$$D = \{(x, y, z) : x^2 + y^2 + z^2 \leq 1, x + y + z = 0\},$$

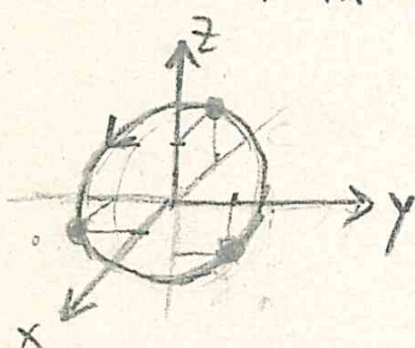
si ha, poiché  $\underline{E} = (y+z, z+x, x+y)$ :

$$\int_C [(y+z)dx + (z+x)dy + (x+y)dz] = \int_C \langle \underline{E}, \underline{\tau} \rangle ds = \\ = \int_D \langle \text{rot } \underline{E}, \underline{n} \rangle d\sigma,$$

avendo scelto  $\underline{n}$  in modo coerente con  $\underline{\tau}$ . Dato che

$$\text{rot } \underline{E} = (0, 0, 0)$$

c'è inutile determinare  $\underline{\tau}$  e  $\underline{n}$ , e l'integrale curvilineo è nullo. A titolo di esercizio, comunque,  $\underline{\tau}$  percorre  $C$  nel verso indicato in figura, e quindi



$$\underline{n} = \left( \frac{1}{\sqrt{3}}, \frac{1}{\sqrt{3}}, \frac{1}{\sqrt{3}} \right).$$

Osserviamo che  $\underline{E}$  è curvilineo, quindi l'integrale doveva essere nullo!

(2) Calcoliamo il flusso del campo vettoriale

$$\underline{G}(x, y, z) = (x^2, y^2, 1-z)$$

attraverso la superficie

$$\Sigma = \{(x, y, z) : z = x^2 + y^2, 0 \leq z \leq 1\},$$

orientata secondo la normale esterna al parabolide.

Osserviamo che, detto  $\Sigma_1$  il "tappo" di  $\Sigma$ , ossia

$$\Sigma_1 = \{(x, y, z) : z = 1, x^2 + y^2 \leq 1\},$$

e posto

$$E = \{(x, y, z) : x^2 + y^2 \leq z \leq 1\}$$

si ha  $\langle G, n \rangle_3 = 0$  su  $\Sigma_1$ , poiché  $n = \begin{pmatrix} 0 \\ 0 \\ 1 \end{pmatrix}$  su  $\Sigma_1$ : quindi

$$\int_{\Sigma} \langle G, n \rangle_3 d\sigma = \int_{\Sigma \cup \Sigma_1} \langle G, n \rangle_3 d\sigma = \int_{\partial E} \langle G, n \rangle_3 d\sigma =$$

$$= \int_E \operatorname{div} G \, dx \, dy \, dz = \int_E (2x + 2y - 1) \, dx \, dy \, dz =$$

$$= \int_0^{2\pi} \int_0^1 \int_0^{\sqrt{z}} (2r \cos \theta + 2r \sin \theta - 1) r \, dr \, dz \, d\theta =$$

$$= -2\pi \int_0^1 \int_0^{\sqrt{z}} r \, dr \, dz = -2\pi \int_0^1 \frac{z}{2} \, dz = -\frac{\pi}{2}.$$

Naturalmente si poteva anche fare il calcolo diretto:

$$\Sigma: \begin{cases} x = r \cos \theta \\ y = r \sin \theta \\ z = r^2 \end{cases} \quad 0 \leq r \leq 1, \quad 0 \leq \theta \leq 2\pi;$$



(290)

$$D\sigma = \begin{pmatrix} \cos\theta & -r\sin\theta \\ \sin\theta & r\cos\theta \\ 2r & 0 \end{pmatrix},$$

$$\underline{\sigma}_r \times \underline{\sigma}_\theta = (-2r^2\cos\theta, -2r^2\sin\theta, r);$$

Il vettore  $\underline{\sigma}_r \times \underline{\sigma}_\theta$  punta verso l'interno del parabolide.

Quindi scegliamo il vettore normale  $\underline{N}$  come

$$\underline{N} = (2r^2\cos\theta, 2r^2\sin\theta, -r),$$

da cui

$$\begin{aligned} \int \langle G, n_3 \rangle d\sigma &= \sum \int_0^{2\pi} \int_0^1 [ \dots ] dr d\theta \\ &= \int_0^{2\pi} \int_0^1 \left[ r^2 \cos^2\theta (2r^2 \cos\theta) + r^2 \sin^2\theta (2r^2 \sin\theta) - (1-r^2) r \right] dr d\theta = \\ &= \int_0^{2\pi} \int_0^1 \left[ 2r^4 \cos^3\theta + 2r^4 \sin^3\theta - r(1-r^2) \right] dr d\theta = \\ &= -2\pi \int_0^1 (r - r^3) dr = -\frac{\pi}{2}. \end{aligned}$$

Esercizio Calcolare il flusso del vettore di

$$\underline{F}(x, y, z) = (y+xz, 2x+2yz, 3x+4xy)$$

attraverso la superficie

$$\Sigma = \{(x, y, z) : x^2 + y^2 + z^2 = 1, z \geq 0\},$$

con vettore normale  $\underline{m}$  tale che  $m_3 \leq 0$ .

Esercizi

- Sia  $\Sigma$  la parte del toro di equazione  $z^2 + (\sqrt{x^2+y^2} - \frac{3}{2})^2 = \frac{1}{4}$  contenuta nell'insieme  $\{(x,y,z) : z \geq 0, y \geq x \geq 0\}$ . Si calcoli

$$\int_{\Sigma} \frac{zx \ln y}{y} dy.$$

- Sia  $\Sigma$  la parte della sfera di equazione  $x^2+y^2+z^2=1$  contenuta nel 1° ottante e delimitata dai tre piani di equazioni  $\sqrt{3}y-x=0$ ,  $y-\sqrt{3}x=0$ ,  $z=0$ , orientata secondo le normale esterna alla sfera. Si calcoli

$$\begin{aligned} & \int_{+\infty}^1 \left\{ [x \operatorname{arctg}(x^2+y^2+1) + z \ln(1+xz)] dx - \right. \\ & \quad \left. - [y \operatorname{arctg} \frac{1}{\sqrt{x^2+y^2+1}} + yz] dy + [x \ln(1+xz)] dz \right\}. \end{aligned}$$

- Calcolare l'area della superficie ottenuta ruotando attorno all'asse  $z$  la curva  $\Gamma$  di equazioni  $x=\pi+e^{-t} \cos t$ ,  $z=e^{-t} \sin t$ ,  $t \in [0, \infty[$ .

- Calcolare

$$\begin{aligned} & \int_{+\Gamma} \left\{ [\ln(1+x^2z^2) + (y+1)z] dx + [x^2z + y^3 e^{-y^2}] dy + \right. \\ & \quad \left. + [yz - (\operatorname{arctg} z)^2 + 1] dz \right\}, \end{aligned}$$

ove  $+\Gamma$  è il triangolo di vertici  $(0,0,0)$ ,  $(0,1,0)$ ,  $(0, \frac{1}{2}, 1)$  orientato secondo l'ordine dei vertici.

- Calcolare l'area della superficie

$$\Sigma = \{(x,y,z) \in \mathbb{R}^3 : 0 \leq z \leq 1 - (x^2+y^2)^{1/4}\}.$$